

**О ДИНАМИКЕ ПЛЕНОК ЖИДКОСТИ.  
ПЛОСКИЕ ПЛЕНКИ СО СВОБОДНЫМИ РЕБРАМИ**

B. M. Ентов, A. N. Рожков, Y. F. Фейзханов,  
A. L. Ярин

(Москва)

При истечении жидкости из тонких щелей конечной ширины («щелевых сопел или насадков») образуются характерные веерообразные плоские струи (свободные динамические пленки), ограниченные по краям свободными «ребрами» — краевыми струями [1] (рис. 1, а). В еще более чистом виде подобное течение реализуется, если из динамической пленки, возникающей, например, при натекании струи на препятствие, вырезать небольшой участок, поставив на пути жидкости два тонких ножа или проволочки [2]. Ясно, что форма пленки и поле скоростей в ней несут информацию о поле напряжений, и количественный анализ подобных течений может стать средством изучения реологии жидкости. Наряду с этим анализ течения в пленке и свободных ребрах на ее краях важен для понимания условий дробления и распыливания жидкости. Ниже излагаются результаты теоретического и экспериментального исследования свободных пленок с краевыми струями для идеальных и упруговязких жидкостей.

**1. Постановка задачи.** Используя тонкость пленки и краевой струи, можно строить описание течения как сочетание двумерных уравнений в области  $G$ , занятой пленкой, с одномерными «струйными» уравнениями на оси  $\Gamma$  краевой струи. Особенность краевой струи состоит лишь в наличии обмена массой и импульсом с пленкой по боковой поверхности струи. Движение жидкости в пленке и ребре удобно описывать в полярной системе координат  $(r, \theta)$  в срединной поверхности пленки. Рассмотрим малый отрезок  $ABB'A'$  свободного ребра на краю стационарной плоской пленки  $G$  (рис. 2), считая течение в свободном ребре квазидвумерным. Это равно-

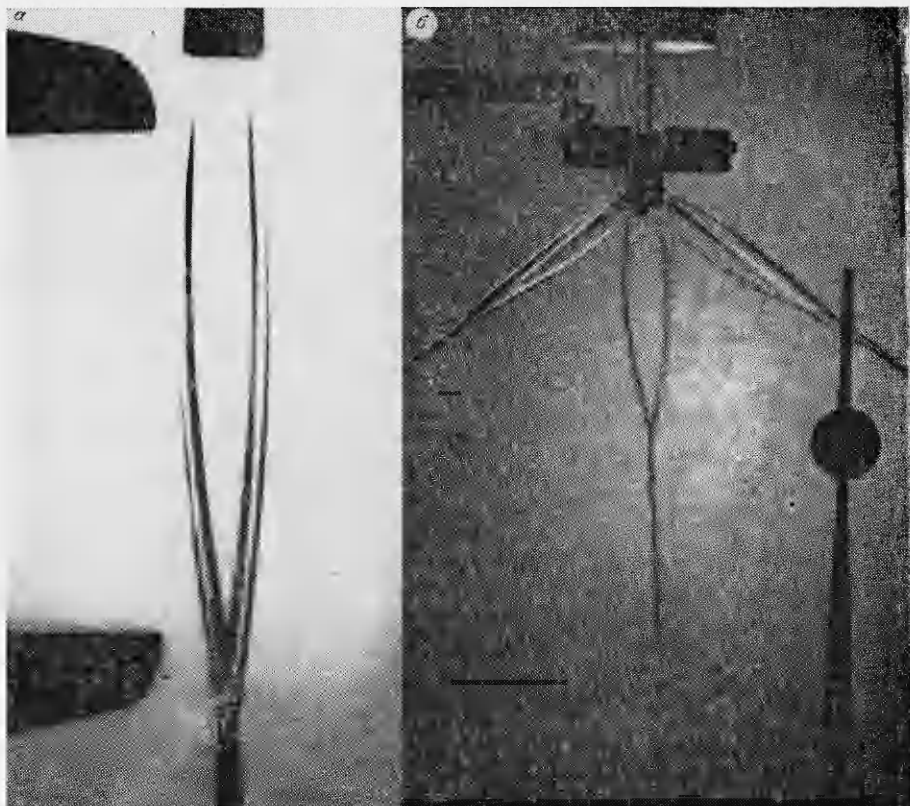
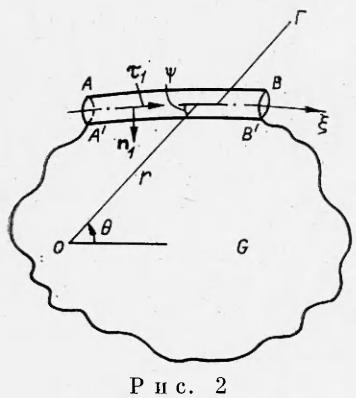


Рис. 1



Р и с. 2

сильно предположению, что жидкость, попадающая внутрь свободного ребра из пленки  $G$  через границу  $A'B'$ , мгновенно перемешивается с жидкостью, движущейся внутри него. В выделенный отрезок ребра через площадки  $AA'$  и  $A'B'$  за время  $dt$  втекает масса жидкости, равная

$$\rho (V_\xi f) |_{AA'} dt + \rho (V_r \sin \psi + V_\theta \cos \psi) h |_{A'B'} d\xi dt,$$

а вытекает через площадку  $BB'$  —  $\rho (V_\xi f) |_{BB'} dt$ . Здесь  $\rho$  — плотность жидкости;  $f$  — площадь сечения свободного ребра;  $V_\xi$  — скорость движения жидкости по оси ребра  $\Gamma$ , вдоль которой отсчитывается координата  $\xi$ ;  $V_r$  и  $V_\theta$  — радиальная и азимутальная компоненты скорости в пленке на площадке  $A'B'$ ;  $h$  — толщина пленки;  $\psi$  — угол между направлением радиуса и касательной  $\tau_1$  к оси  $\Gamma$ . Составляя баланс массы для выделенного участка ребра  $ABB'A'$ , получим уравнение неразрывности для свободного ребра:

$$(1.1) \quad d(V_\xi f)/d\xi = h(V_r \sin \psi + V_\theta \cos \psi).$$

Рассмотрение баланса количества движения внутри ребра в предположении, что здесь мгновенно происходит полная разгрузка жидкости от внутренних напряжений, приводит к уравнению

$$(1.2) \quad \rho d(V_\xi^2 f \tau_1)/d\xi = \rho V h (V_r \sin \psi + V_\theta \cos \psi) + \sigma_n h + 2\alpha n_1,$$

где  $n_1$  — нормаль к  $\Gamma$  в плоскости пленки;  $\sigma_n$  — напряжение в пленке на площадке  $A'B'$ ;  $\alpha$  — коэффициент поверхностного натяжения жидкости.

Проектируя (1.2) на касательную и нормаль к  $\Gamma$ , имеем

$$(1.3) \quad \begin{aligned} \rho \frac{dV_\xi^2 f}{d\xi} &= \rho h (V_r \sin \psi + V_\theta \cos \psi) (V_r \cos \psi - V_\theta \sin \psi) + \\ &+ h [\sin \psi \cos \psi (\sigma_{\theta\theta} - \sigma_{rr}) - \sigma_{r\theta} \cos 2\psi], \\ \rho V_\xi^2 f \left( \frac{d\psi}{d\xi} - \frac{d\theta}{d\xi} \right) &= -\rho h (V_r \sin \psi + V_\theta \cos \psi)^2 + \\ &+ h (\sigma_{rr} \sin^2 \psi + \sigma_{\theta\theta} \cos^2 \psi + \sigma_{r\theta} \sin 2\psi) + 2\alpha. \end{aligned}$$

Компоненты тензора напряжений в пленке на границе  $A'B'$  со свободным ребром обозначены через  $\sigma_{rr}$ ,  $\sigma_{\theta\theta}$ ,  $\sigma_{r\theta}$ .

Выведенные уравнения верны только до начала отрыва от ребра каиель, ведущего к его разрушению. Это не лишает их смысла, поскольку эксперименты показывают, что даже в случае водяных пленок на сравнительно протяженных участках свободное ребро сохраняет свою целостность.

К уравнениям (1.1) и (1.3) добавляются геометрические соотношения

$$(1.4) \quad \frac{d\theta}{dr} = -\frac{1}{r} \operatorname{tg} \psi, \quad d\xi \sin \psi = -rd\theta.$$

Одно из решений системы (1.1), (1.3) и (1.4), представленное в виде  $r = R(\theta)$ , дает уравнение оси ребра  $\Gamma$ .

Общие уравнения движения жидкости в пленке [3, 4] в рассматриваемом случае стационарной пленки с плоской срединной поверхностью и переменной толщиной запишем в виде

$$(1.5) \quad \begin{aligned} \frac{\partial}{\partial r} (V_r rh) + \frac{\partial}{\partial \theta} (V_\theta h) &= 0, \\ \rho V_r rh \frac{\partial V_r}{\partial r} + \rho V_\theta h \frac{\partial V_\theta}{\partial \theta} - \rho V_\theta^2 h &= \frac{\partial \sigma_{rr} rh}{\partial r} + \frac{\partial \sigma_{r\theta} h}{\partial \theta} - \sigma_{\theta\theta} h, \\ \rho V_r rh \frac{\partial V_\theta}{\partial r} + \rho V_\theta h \frac{\partial V_\theta}{\partial \theta} + \rho V_\theta V_r h &= \frac{\partial \sigma_{r\theta} rh}{\partial r} + \frac{\partial \sigma_{\theta\theta} h}{\partial \theta} + \sigma_{r\theta} h. \end{aligned}$$

Для отыскания напряжений  $\sigma$  в пленке необходимо привлечь реологические определяющие соотношения жидкости. Далее они принимаются в форме, отвечающей одному из вариантов максвелловской упруговязкой жидкости [5]:

$$(1.6) \quad \begin{aligned} V_r \frac{\partial \tau_{zz}}{\partial r} + \frac{V_\theta}{r} \frac{\partial \tau_{zz}}{\partial \theta} &= 2\tau_{zz} \left( -\frac{\partial V_r}{\partial r} - \frac{1}{r} \frac{\partial V_\theta}{\partial \theta} - \frac{V_r}{r} \right) - \\ &- \frac{1}{\lambda} \tau_{zz} + \frac{2\mu}{\lambda} \left( -\frac{\partial V_r}{\partial r} - \frac{1}{r} \frac{\partial V_\theta}{\partial \theta} - \frac{V_r}{r} \right), \\ V_r \frac{\partial \tau_{rr}}{\partial r} + \frac{V_\theta}{r} \left( \frac{\partial \tau_{rr}}{\partial \theta} - 2\tau_{r\theta} \right) &= 2\tau_{rr} \frac{\partial V_r}{\partial r} + \\ &+ 2\tau_{r\theta} \left( \frac{1}{r} \frac{\partial V_r}{\partial \theta} - \frac{V_\theta}{r} \right) - \frac{\tau_{rr}}{\lambda} + \frac{2\mu}{\lambda} \frac{\partial V_r}{\partial r}, \\ V_r \frac{\partial \tau_{r\theta}}{\partial r} + \frac{V_\theta}{r} \left( \frac{\partial \tau_{r\theta}}{\partial \theta} + \tau_{rr} - \tau_{\theta\theta} \right) &= \tau_{rr} \frac{\partial V_\theta}{\partial r} + \tau_{\theta\theta} \left( \frac{1}{r} \frac{\partial V_r}{\partial \theta} - \frac{V_\theta}{r} \right) + \\ &+ \tau_{r\theta} \left( \frac{1}{r} \frac{\partial V_\theta}{\partial \theta} + \frac{V_r}{r} + \frac{\partial V_r}{\partial r} \right) - \frac{\tau_{r\theta}}{\lambda} + \frac{\mu}{\lambda} \left( \frac{1}{r} \frac{\partial V_r}{\partial \theta} + \frac{\partial V_\theta}{\partial r} - \frac{V_\theta}{r} \right), \\ V_r \frac{\partial \tau_{\theta\theta}}{\partial r} + \frac{V_\theta}{r} \left( \frac{\partial \tau_{\theta\theta}}{\partial \theta} + 2\tau_{r\theta} \right) &= 2\tau_{r\theta} \frac{\partial V_\theta}{\partial r} + \\ &+ 2\tau_{\theta\theta} \left( \frac{1}{r} \frac{\partial V_\theta}{\partial \theta} + \frac{V_r}{r} \right) - \frac{\tau_{\theta\theta}}{\lambda} + \frac{2\mu}{\lambda} \left( \frac{1}{r} \frac{\partial V_\theta}{\partial \theta} + \frac{V_r}{r} \right), \\ \sigma_{rr} = \tau_{rr} - \tau_{zz}, \quad \sigma_{\theta\theta} = \tau_{\theta\theta} - \tau_{zz}, \quad \sigma_{r\theta} = \tau_{r\theta}, \end{aligned}$$

где  $\tau_{zz}$ ,  $\tau_{rr}$ ,  $\tau_{\theta\theta}$  и  $\tau_{r\theta}$  — девиаторные напряжения в пленке;  $\mu$  и  $\lambda$  — вязкость и время релаксации жидкости. Сходные реологические соотношения получаются и из молекулярно-гидродинамических моделей [6], если накапливаемые упругие деформации не слишком велики.

Наличие свободных ребер может оказывать влияние на течение внутри пленки. Поэтому уравнения динамики пленки (1.5), (1.6) должны решаться совместно с уравнениями ребра в области  $G$  с неизвестной границей  $\Gamma$ , отвечающей свободным ребрам, при соответствующих условиях на линии истечения и  $\Gamma$ . Ниже рассматривается упрощенный вариант этой задачи в предположении, что ребро не оказывает обратного влияния на течение в пленке. При этом течение в пленке в принципе можно рассчитывать независимо, и речь идет лишь об отыскании неизвестного положения ребер. Физически сформулированное предположение опирается на два факта. Во-первых, жидкость из пленки всегда втекает в ребро (обратной ситуации не наблюдается). Во-вторых, и это основное, рассматриваются лишь достаточно быстрые течения (или жидкости с достаточно малой вязкостью), в которых возмущения переносятся в основном по потоку, а перенос возмущений против потока сосредоточен лишь в узких пограничных слоях. Характер возникающего пограничного слоя аналогичен рассмотренному в [7] при анализе постановки краевого условия на дальнем конце свободной пленки.

Касательная к свободному ребру компонента скорости в пленке  $V_{\xi r} = V_r \cos \psi - V_\theta \sin \psi$  отличается от скорости жидкости в нем  $V_\xi$ . Таким образом, на границе свободного ребра и пленки  $A'B'$  должен возникать слой смешения, интенсифицирующий выравнивание скоростей в свободном ребре.

**2. Свободные ребра при радиальном течении в пленке.** Примем, что течение в пленке чисто радиальное, причем из условия неразрывности

$$V_r = C/[rh(r)], \quad V_\theta = 0, \quad C = \text{const.}$$

Как показывают эксперименты, характер течения в пленке обычно радиальный не только при образовании пленки на осесимметричном препятствии [7], но и при истечении ее из щелевого сопла.

Тогда из уравнения неразрывности для ребра (1.1) с учетом (1.4) получим

$$(2.1) \quad V_{\xi}f = Q_1 + C(\theta_0 - \theta),$$

где  $Q_1$  — расход в начальном сечении ребра, отвечающем углу  $\theta_0$ .

С использованием (2.1) уравнения (1.3), (1.4) упрощаются и могут быть преобразованы к безразмерному виду

$$(2.2) \quad \begin{aligned} \frac{dV_{\xi}}{dr} &= \frac{1}{q_1 + \theta_0 - \theta} \left\{ \sin \psi \left[ \frac{V_r}{r} + \frac{1}{V_r r} (\sigma_{\theta\theta} - \sigma_{rr}) \right] - \frac{V_{\xi} \operatorname{tg} \psi}{r} \right\}, \\ \frac{d\psi}{dr} &= -\frac{\operatorname{tg} \psi}{r} + \frac{1}{V_{\xi} (q_1 + \theta_0 - \theta)} \left[ -\frac{V_r \sin^2 \psi}{r \cos \psi} + \frac{1}{We \cos \psi} + \right. \\ &\quad \left. + \frac{1}{V_r r \cos \psi} (\sigma_{rr} \sin^2 \psi + \sigma_{\theta\theta} \cos^2 \psi) \right], \quad \frac{d\theta}{dr} = -\frac{\operatorname{tg} \psi}{r}. \end{aligned}$$

Соответствующие уравнения для течения в пленке принимают форму

$$(2.3) \quad \begin{aligned} \frac{dV_r}{dr} &= [1 - V_r^{-2} (\tau_{rr} + 4K + 3\tau_{zz})]^{-1} [V_r^{-2} (-K \operatorname{Re} \tau_{rr} + 2\tau_{zz} V_r/r + \\ &\quad + K \operatorname{Re} \tau_{zz} + 2KV_r/r) - (\tau_{\theta\theta} - \tau_{zz})/(rV_r)], \\ \frac{d\tau_{zz}}{dr} &= \frac{1}{V_r} \left[ -2\tau_{zz} \left( \frac{dV_r}{dr} + \frac{V_r}{r} \right) - K \operatorname{Re} \tau_{zz} - 2K \left( \frac{dV_r}{dr} + \frac{V_r}{r} \right) \right], \\ \frac{d\tau_{rr}}{dr} &= \frac{1}{V_r} \left[ 2\tau_{rr} \frac{dV_r}{dr} - K \operatorname{Re} \tau_{rr} + 2K \frac{dV_r}{dr} \right], \\ \frac{d\tau_{\theta\theta}}{dr} &= \frac{1}{V_r} \left[ \frac{2\tau_{\theta\theta} V_r}{r} - K \operatorname{Re} \tau_{\theta\theta} + 2K \frac{V_r}{r} \right], \\ \sigma_{rr} &= \tau_{rr} - \tau_{zz}, \quad \sigma_{\theta\theta} = \tau_{\theta\theta} - \tau_{zz}, \\ We &= \frac{\rho h_0 V_0^2}{2\alpha}, \quad K = \frac{\mu}{\rho \lambda V_0^2}, \quad \operatorname{Re} = \frac{r_0 V_0 \rho}{\mu}, \quad q_1 = \frac{Q_1}{r_0 V_0 h_0}. \end{aligned}$$

В уравнениях (2.2) и (2.3) скорости отнесены к  $V_0$ , радиус — к  $r_0$ , напряжения — к  $\rho V_0^2$ .

Для идеальной жидкости, когда  $V_r \equiv 1$ ,  $\sigma_{rr} = \sigma_{\theta\theta} \equiv 0$ , уравнения, подобные (2.3), выписаны в [2] (см. также [1]), причем начальный расход в ребре  $q_1$  полагался равным нулю; решения этих уравнений, по-видимому, не исследовались.

Интегрируя уравнения (2.3) с начальными условиями, заданными в начальном сечении пленки  $r = 1$ , можно найти все параметры течения в пленке, необходимые для отыскания оси ребра Г. Форма оси ребра и параметры течения в нем определяются затем из уравнений (2.2).

Нетривиален вопрос о постановке для этих уравнений начальных условий. Принципиально различаются два случая: с самого начала имеется сформировавшаяся краевая струя с ненулевым расходом  $q_1$ ; формирующаяся в месте разрыва пленки струя ( $q_1 = 0$ ). Первая ситуация четко реализуется при истечении струи из щелевого насадка с гантелейвидным сечением или при разрыве пленки широким препятствием, вторая — при разрыве пленки очень тонкой проволочкой. Действительно, при натекании пленки на препятствие ширины  $d$  имеем очевидную оценку для расхода в начальном сечении свободного ребра  $(1/2)V_* h_* d$  (звездочками отмечены значения величин в месте, где расположено препятствие); соответственно  $q_1 = d/(2r_1)$ , и для достаточно малых размеров препятствия  $q_1 \rightarrow 0$ .

В первом случае необходимо задавать величины  $q_1$ ,  $\psi_0$  и  $V_{\xi 0}$  в начальном сечении краевой струи, во втором — начальная точка  $r = r_1$ ,  $\theta = \theta_0$  особая для уравнений (2.2). Можно показать, что в (2.2)  $\psi$  и  $V_{\xi}$

принимают конечные значения для  $r = r_1$ ,  $q_1 = 0$  только при выполнении условий

$$(2.4) \quad r = r_1, \quad V_\xi = V_{\xi_0}, \quad \psi = \psi_0, \quad \theta = \theta_0,$$

$$V_{\xi_0} = \left( V_r + \frac{\sigma_{\theta\theta} - \sigma_{rr}}{V_r} \right) \cos \psi,$$

$$\sin^2 \psi_0 = \left( \frac{1}{We} + \frac{\sigma_{\theta\theta}}{V_r} \right) / \left( V_r + \frac{\sigma_{\theta\theta} - \sigma_{rr}}{V_r} \right)$$

(двузначность решения уравнения для угла отвечает двум струям, образующимся при разрыве пленки препятствием). Соответственно и  $dV_\xi/dr$  и  $d\psi/dr$  принимают конечные значения при  $r = r_1$ .

Значению радиуса  $r = r_2$ , при котором

$$(2.5) \quad V_r^2 - rV_r/We - \sigma_{rr} = 0,$$

отвечает возникновение на пленке свободного ребра в виде дуги окружности (условие, аналогичное (2.5) для идеальной жидкости, получено в [2]). В этом свободном ребре жидкость разгружается от действия поверхностных и упругих сил, а отрыв от него капель ведет к разрушению пленки при  $r = r_2$ . В ряде случаев свободные ребра, возникающие на проволочках или на срезе насадка, не успевают сомкнуться до значения радиуса  $r = r_2$ , и пленка оказывается достаточно длинной и ограниченной тремя свободными ребрами. По аналогии с газовой динамикой свободные ребра, начинающиеся на препятствиях или на срезе насадка, можно назвать «косыми скачками», а свободные ребра в виде дуги окружности при  $r = r_2$  — «прямыми скачками».

**3. Эксперимент и сопоставление его результатов с теорией.** Для проверки адекватности развитой теоретической схемы выполнены и сопоставлены с экспериментом расчеты для пленок идеальной жидкости (воды).

В опытах при помощи тонких проволочек из пленки, созданной щелевым насадком, вырезался узкий сектор, формирующий плоскую пленку, ограниченную краевыми струями (см. рис. 1, б). Методом трассирующих водородных пузырьков в сочетании со съемкой при стробоскопическом освещении найдено поле скоростей  $V$  в пленке; независимо определялось распределение удельного объемного расхода в пленке, равного  $Vh$ . Это позволило найти порознь  $V$  и  $h$ , подтвердить постоянство скорости  $V$  и радиальный характер течения.

В расчетах интегрировались уравнения (2.2) с соответствующими начальными условиями. При этом в случае идеальной жидкости напряжения  $\sigma_{rr}$  и  $\sigma_{\theta\theta}$  полагались равными нулю, а скорость  $V_r \equiv 1$ .

На рис. 3 показана форма образующихся ребер при различных начальных положениях разрезающих пленку проволочек (различные  $r_1$ ). Точками показаны результаты эксперимента, кривыми 1 — результаты расчета; считалось, что  $q_1 = 0$ , и использовались начальные условия (2.4), поскольку здесь оценка начального расхода в краевой струе дает значения  $q_1 \sim \sim (3-6) \cdot 10^{-3}$ . Ось  $Ox$  есть ось симметрии течения.

В данном случае углы, составляемые ребром с осью симметрии пленки, малы; это позволяет дополнительно упростить уравнение ребра, представив его в виде

$$(3.1) \quad \left( 1 - 0_0^{-1} \frac{y}{x} + \frac{m_0}{y_0 \rho h_0} \right) \frac{d^2 y}{dx^2} = 0_0^{-1} x V_0^2 \left( \frac{y}{x^2} - \frac{dy}{dx} \frac{1}{x} \right)^2 -$$

$$- \frac{1}{\rho V_0^2 h_0 y_0} \left( \frac{\sigma_{\theta\theta} h_0 x_0}{x} + 2\alpha \right),$$

где  $x$ ,  $y$  — декартовы координаты ( $x = r \cos \theta$ ,  $y = r \sin \theta$ );  $m_0 = f_0 \rho$  — масса жидкости в начальном элементе ребра единичной длины в точке образования свободного ребра;  $h_0$  — толщина пленки в этой точке;  $x_0$ ,  $y_0$  ( $\theta_0 = y_0/x_0$ ) — координаты этой точки;  $V_0$  — скорость течения жидкости в

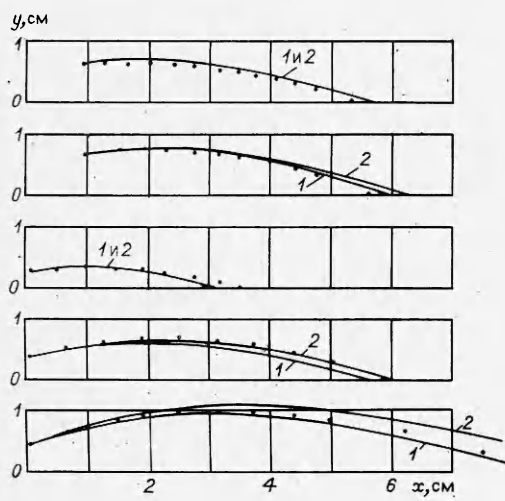


Рис. 3

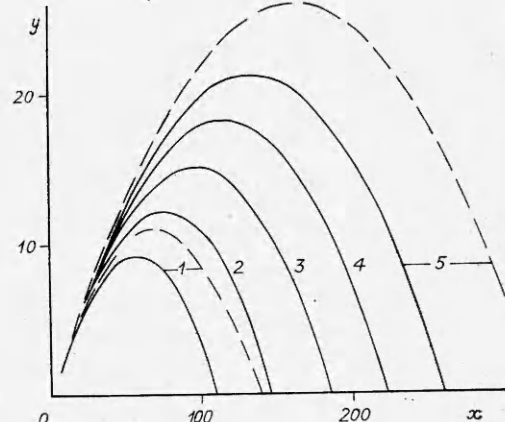


Рис. 4

пленке, совпадающая в данной постановке со скоростью течения жидкости в ребре.

Асимптотическое уравнение (3.1) верно при условиях  $\theta_0 \ll 1$ ,  $\rho V^2 \gg \sigma_{\theta\theta}$ ,  $\rho V^2 \gg \sigma_{rr}$ . Оно удобно в том отношении, что открывает возможность для решения обратной задачи — отыскания азимутальных напряжений в пленке  $\sigma_{\theta\theta}$  по форме ребра. Уравнение (3.1) должно интегрироваться с учетом второго условия (2.4).

Для оценки погрешности, вносимой переходом к асимптотическому уравнению (3.1), с его помощью была рассчитана форма пленок для условий опыта, показанных на рис. 3 (линия 2 — результаты расчета). Видно, что асимптотическое уравнение (3.1) удовлетворительно согласуется с результатами эксперимента для достаточно малых значений  $\theta_0$ . В [1] для малых углов наклона свободных ребер по отношению к оси симметрии пленок идеальной жидкости из (2.2) получено явное приближенное выражение для формы ребра  $r = R(\theta)$ .

На следующем этапе эксперимента исследовались пленки разбавленных растворов полимеров и сделана попытка определить напряжения в жидкости с помощью уравнения (3.1). Однако эти опыты не обеспечили необходимой точности, поэтому в дальнейшем использовалась другая методика.

Проведенные в данной работе расчеты с применением максвелловской модели упруговязкой жидкости при типичных для разбавленных растворов полимеров значениях параметров  $\mu = 10^{-3}$  кг/(м·с),  $\lambda \sim 10^{-2}$  с показали, что эта модель предсказывает независимость формы свободных ребер от упругих свойств разбавленного раствора и напряжения  $\sigma_{\theta\theta} \sim 1$  Н/м<sup>2</sup>.

Рассмотрим результаты, полученные при расчете на основе (2.2) и (2.3) течений из щелевых сопел. Данные для упруговязкой жидкости, истекающей из щелевого сопла, в случае развитых краевых струй на его срезе представлены на рис. 4. Здесь принято  $q_1 = 0,1$ ,  $r_1 = 5$ ,  $\psi_0 = 0$ ,  $\theta_0 = 15^\circ$ ,  $V_{\xi_0} = V_r(r_1)$  (гантлевидное сечение насадки). В качестве масштаба длины используется  $r_0$ , причем считается, что при  $1 \leq r \leq r_1$  течение в насадке развивается как свободная пленка, а потери на трение о стенки пренебрежимо малы. При  $1 \leq r \leq r_1$  интегрируются уравнения (2.3) с начальными условиями  $r = 1$ ,  $V_r = 1$ ,  $\tau_{zz} = \tau_{rr} = \tau_{\theta\theta} = 0$ , а при  $r > r_1$  — совместно уравнения (2.2) и (2.3). На рис. 4 сплошные линии 1—5 соответствуют  $We = 0,36 \cdot 10^5$ ,  $Re = 6$ ,  $K = 0,278 \cdot 10^{-4}$ ;  $We = 0,64 \cdot 10^5$ ,  $Re = 8$ ,  $K = 0,156 \cdot 10^{-4}$ ;  $We = 10^6$ ,  $Re = 10$ ,  $K = 10^{-5}$ ;  $We = 1,44 \cdot 10^6$ ,  $Re = 12$ ,  $K = 0,69 \cdot 10^{-5}$ ;  $We = 1,96 \cdot 10^6$ ,  $Re = 14$ ,  $K = 0,51 \cdot 10^{-5}$  (увеличивается начальная скорость жидкости при фиксированных значениях остальных параметров). Значениям параметров, отвечающим, например, кривой 3

рис. 4, соответствует монотонный рост напряжения  $\sigma_{\theta\theta}$  вдоль пленки вплоть до смыкания свободных ребер — время пребывания жидкости в пленке слишком мало для заметной релаксации азимутальных напряжений.

Принятые здесь значения параметров относятся к области заведомо го преобладания упругих сил над поверхностными. Поэтому форма пленки полностью определяется величиной модуля упругости жидкости. При его уменьшении упругие силы уменьшаются, что ведет к более широкому разлету свободных ребер, а при увеличении модуля свободные ребра смыкаются быстрее. Штриховыми кривыми 1 и 5 на рис. 4 показаны результаты для уменьшенного в 1,5 раза модуля упругости (и тем самым числа  $K$ ); остальные безразмерные критерии имеют прежние значения.

С уменьшением начального расхода  $q_1$  краевая струя, формирующаяся при истечении из щелевого насадка с гантелеобразной формой, все более приближается к краевой струе, формирующейся на срезе насадка в виде сильно вытянутого эллипса, когда  $q_1 = 0$  и справедливы начальные условия (2.4).

Наконец, рассмотрим данные, относящиеся к достаточно длинным пленкам, которые ограничены тремя свободными ребрами. На рис. 5 в безразмерном виде представлены результаты расчета истечения из щелевого сопла с гантелеобразным срезом ( $We = 10^3$ ,  $Re = 0,28 \cdot 10^3$ ,  $K = 10^{-4}$ ,  $q_1 = 0,1$ ,  $r_1 = 5$ ,  $\theta_0 = 60^\circ$ ). Кривая 1 — одно из двух свободных ребер, начинающихся на срезе насадка («косой скачок»), 2 — свободное ребро с осью в виде дуги окружности («прямой скачок»), 3 — распределение вдоль пленки азимутального напряжения  $\sigma_{\theta\theta}$ , максимум которого и дальнейшее резкое уменьшение обусловлены релаксацией. Для значений параметров, соответствующих рис. 4, удлинение пленки и возникновение на ней третьего свободного ребра достигаются увеличением угла разлета  $\theta_0$ .

Можно полагать, что появление в формальном решении третьего свободного «ребра разгрузки» до смыкания краевых струй физически отвечает распаду пленки.

#### ЛИТЕРАТУРА

- Clark C. I., Dombrowski N. The dynamics of the rim of a fan spray sheet. — Chem. Eng. Sci., 1971, v. 26, N 11.
- Taylor G. The dynamics of thin sheets of fluid. II Waves on fluid sheets. — Proc. Roy. Soc. London, 1959, v. A253, N 1274.
- Ентов В. М. Динамика пленок вязких и упругих жидкостей. Препринт ИПМ АН СССР №130, 1979.
- Entov V. M. On the dynamics of films of viscous and elastoviscous liquids. — Archives of Mech., 1982, v. 34, N 4.
- Астарита Дж., Марруччи Дж. Основы гидромеханики неильтоновских жидкостей. М.: Мир, 1978.
- Hinch E. J. Mechanical models of dilute polymer solutions in strong flows. — Phys. Fluids, 1977, v. 20, N 10, pt 2.
- Ентов В. М., Кестенбойм Х. С. и др. О динамической форме равновесия пленки вязкой и упруговязкой жидкости. — Изв. АН СССР. МЖГ, 1980, № 2.

Поступила 10/X 1984 г.

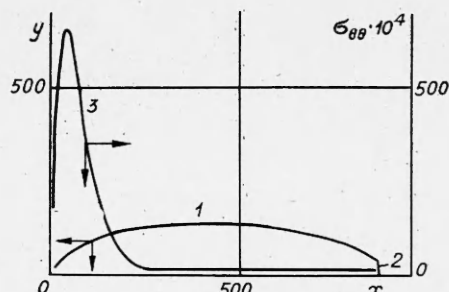


Рис. 5